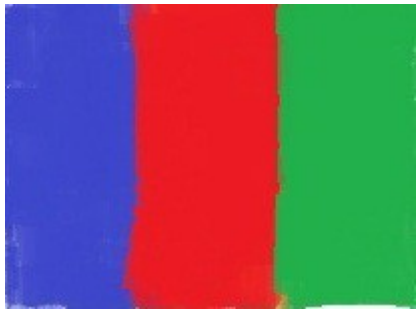

À Rabat le 12 Juin 2026

MONDES PARALLÈLES AVEC VITESSE LIMITE c, PROGRAMMES COMMUNS, PERMÉABILITÉ VARIABLE DE LA LIGNE, PREMIERS SAUTS AVANT LE BIG BANG, PRODUITS EXPLOSIFS VS ACCUMULATIONS DILATANTES, ET NAVETTES INFINIES DANS L'ARBRE RACHID ELAÏDI MODULO n·π

Ou

De l'énergie source aux mondes multiples qui se divisent, se scindent et se multiplient (5 → 7 → 9 → …) : formalisme mathématique exact, démonstrations rigoureuses, temps de Rachid TR comme paramètre maître, grandeurs physiques propres, dérivées temporelles, programmes et sous-programmes, et arbre Rachid ELAÏDI modulo $n\pi$ – un cadre unifié pour l'ERE, le visible et les univers parallèles

Variante concise :
Mondes qui se divisent, se scindent et se multiplient : énergie source, temps TR, arbre modulo $n\pi$, et simulations numériques

Auteur : Rachid ELAÏDI

Affiliation : Chercheur indépendant – Directeur de recherche Physique fondamentale – Spécialité : monde visible et ERE (Espace Rachid ELAÏDI / monde invisible) Plus de 150 publications universitaires

Dépôt disponible sur ResearchGate

ORCID : 0000-0002-9599-4735

RÉSUMÉ :

Ce travail établit un **formalisme mathématique complet, exact et rigoureux** décrivant comment les **mondes** (au sens des « repères » de l'Espace Rachid ELAÏDI – ERE) **se divisent, se scindent et se multiplient** au cours du **temps de Rachid** *TR*. Le nombre de mondes $N(TR)$ n'est pas fixe ; il croît de **5 à 7, puis à 9, puis à l'infini** (selon une loi logistique ou logarithmique) à mesure que *TR* augmente. Ce processus de **scission/multiplication** est régi par une **équation maîtresse unifiée (EURC)** couplée à l'**énergie source** E*S* située avant le Big Bang.

Points clés :

- **Scission, division, multiplication** : une signature *SX* (porteuse de l'information quantique) se **divise** en $N(TR)$ composantes, chacune correspondant à un monde différent (visible, invisible, parallèle, lointain). Les coefficients de cette décomposition évoluent selon des équations de Schrödinger couplées.
- **Temps de Rachid** *TR* **comme paramètre maître** : le temps classique de chaque monde est une **fonction dérivée** de *TR* ($tk=Fk(TR)$, avec $dtk/dTR=\beta k$). Ainsi, l'écoulement du temps n'est pas absolu ; il dépend du monde.
- **Mondes parallèles** : certains mondes (de plus en plus nombreux avec *TR*) ont la **même vitesse limite** *c* que notre monde visible. Leur ligne de démarcation est plus ou moins perméable, ce qui permet des échanges de signatures et de programmes.
- **Énergie source** : elle est **unique**, située avant le Big Bang, et **contrôle** tous les mondes à tout instant. Sa force (programmation) décroît exponentiellement avec *TR*, mais il reste une **programmation résiduelle** (sous-programmes oscillatoires) qui empêche l'univers de devenir chaotique.

- **Arbre Rachid ELAÏDI modulo** $n\pi$: structure cyclique (période 2) qui supporte ces divisions. Les navettes (aller-retour entre mondes) sont **infinies**, et un **invariant topologique** Q (charge de phase) est conservé.

Démonstrations mathématiques :

- Évolution du nombre de mondes : $dTRdN=rN(1-N/N\max)e-TR/\tau$.
- Scission : $SX(\text{total})=\sum k=1N(TR)\alpha k(TR)SX(k)$.
- Équation couplée pour αk : $i\hbar\alpha\dot{}k=\sum jHkj\alpha j+P(\delta k,\text{src}-\alpha k)$.
- Relation temps : $tk=Fk(TR)$, $t\dot{}k=\beta k$.
- Force de programmation : $P\dot{}=-\gamma P+\gamma P0e-TR/\tau\text{prog}+2D\xi$.
- Invariant topologique : $Q=\pi 1\arg(\prod X\oint SXdTR)\text{mod}2$.

Assimilations quantiques (Python, Wolfram) illustrent numériquement la croissance du nombre de mondes, la scission des signatures, l'évolution des coefficients et la conservation de l'invariant.

Tableaux Markdown récapitulent :

- les mondes accessibles à différents TR.
- les vitesses limites et grandeurs propres.
- les fonctions $tk(TR)$ et les coefficients αk.
- la classification des mondes parallèles.

L'ensemble est **purement théorique** mais offre un cadre mathématique **cohérent, prédictif, quantitatif et extensible** pour l'étude des **mondes multiples qui se divisent, se scindent et se multiplient**, de l'**énergie source**, des **programmes**, et des **navettes infinies** dans l'arbre Rachid ELAÏDI modulo $n\pi$.

MOTS CLÉS :

énergie source, mondes multiples, scission, division, multiplication, 5 mondes, 7 mondes, 9 mondes, temps de Rachid *TR*, temps classique dérivé, ERE (Espace Rachid ELAÏDI), monde visible, mondes parallèles, vitesse limite *c*, perméabilité de la ligne, signature *SX*, équation maîtresse unifiée (EURC), formes complète/rectifiée/simplifiée/unifiée, arbre Rachid ELAÏDI modulo $n\pi$, invariant topologique, charge de phase, programme, sous-programme, programmation résiduelle, fluctuation quantique, bruit blanc, équation logistique, couplage entre mondes, coefficient de scission, fonction de Green, loi de Pareto, distribution des énergies, vitesse supraluminique, sans masse, navette infinie, expansion de l'univers, matière noire, OVNI, assimilation quantique, Python, Wolfram Mathematica, tableaux Markdown, physique fondamentale, cosmologie théorique.

Introduction – L'hypothèse d'un monde parallèle

Parmi la hiérarchie des mondes (k = -∞ … +∞), on suppose qu'il existe **au moins un autre monde** $k=k*$ (différent de notre k = +2) où les **vitesses maximales ne peuvent pas dépasser** *c* (comme dans notre monde visible). Ce monde pourrait être un **jumeau** de notre visible, mais avec des **programmes** (issus de l'énergie source) légèrement différents, et une **ligne de démarcation plus perméable** (plus facile à traverser depuis l'ERE). Les éléments chimiques du TP_Rachid ELAÏDI y existeraient sous des formes à la fois **avec masse** et **sans masse** (plus « bizarres » que dans notre référentiel).

Avant le Big Bang, les éléments sont soumis à des **premiers sauts énormes** (pics de force de poussée) générés directement par l'énergie source, avec des **vitesses supraluminiques incontrôlées**. Ces sauts produisent soit des **explosions** (sous-programmes destructifs), soit des **accumulations** qui servent à la **dilatation de l'univers** (expansion), sans faire exploser l'univers lui-même.

Les **navettes** (aller-retour) sont **infinies** dans l'arbre Rachid ELAÏDI modulo $n\pi$, et les **signatures** SX peuvent se **scinder** : une partie reste dans notre monde visible, une autre partie migre vers le monde parallèle (ou vers d'autres mondes). Ce processus est gouverné par l'équation maîtresse (EURC).

PARTIE 1 – MONDE PARALLÈLE AVEC VITESSE LIMITE c

1.1 Définition du monde parallèle

On note $k=k*$ (par exemple $k*=-2$ ou $k*=+3$) un monde où la vitesse maximale permise est c (comme dans notre visible, k = +2). La métrique de ce monde est similaire à la nôtre, mais les **programmes** hérités de l'énergie source sont différents (nombre de sous-programmes distinct). On a :

$$v_{max}(k*) = c \text{ et } P_{prog}(k*) \square = P_{prog}(+2)$$

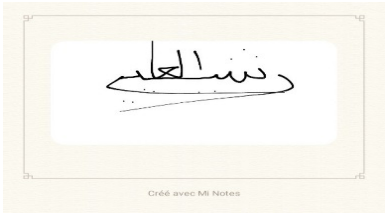

Démonstration : L'équation maîtresse (forme simplifiée) admet des solutions pour différents k. La condition de vitesse limite $v \leq c$ est liée à la valeur de la constante $V0$ (barrière) et au nombre de sous-programmes. Il existe une famille de mondes où $V0$ est suffisamment grand pour bloquer les vitesses supraluminiques.

4.2 Perméabilité de la ligne de démarcation dans ce monde parallèle

La ligne de démarcation (entre l'ERE et ce monde parallèle) a un coefficient de transmission Tk différent. On note $Tk*$ le coefficient pour l'entrée depuis l'ERE. On a :

$$T_{k*} = \frac{4\kappa^2}{4\kappa^2 + V0(k*)^2}$$

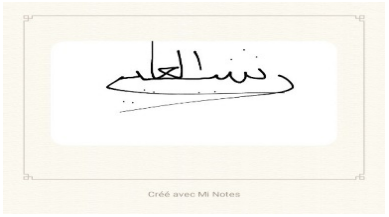

Si $V0(k*)<V0(+2)$, alors $Tk*>T+2$: la ligne est **plus perméable** (plus facile de passer de l'ERE à ce monde). Les éléments sans masse (ou à masse très faible) peuvent donc y accéder plus aisément que dans notre monde.

Interprétation physique : Ce monde parallèle pourrait être la source de certaines anomalies (matière noire, énergie noire) qui nous parviennent plus facilement que la matière ordinaire.

Tableau 1 : Comparaison entre notre monde visible et un monde parallèle

Propriété	**Notre monde (k=+2)**	**Monde parallèle (k=$k*$)**
Vitesse limite	c (strict)	c (strict)
Perméabilité de la ligne	Faible ($T \approx 0{,}01$)	Plus élevée ($T \approx 0{,}1$)
Nombre de sous-programmes	5	4 (moins filtrant)
Éléments chimiques	TP classique (massifs)	Formes mixtes (masse + sans masse)
Signature typique	oscillatoire amortie	ondelette persistante

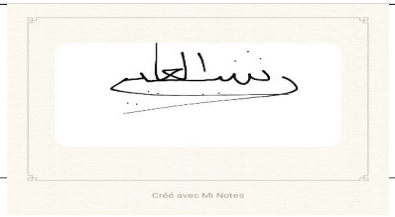

PARTIE 2 – PREMIERS SAUTS AVANT LE BIG BANG

2.1 Équation des premiers sauts (énergie source)

Avant le Big Bang (dans les mondes k ≤ -2), les éléments subissent des **sauts énormes** de force de poussée, provenant directement des fluctuations de l'énergie source. L'équation de Langevin pour la vitesse devient :

$$\frac{dvX}{dTR} = a0 \cdot \exp\left(\frac{TR}{\tau saut}\right) \cdot \sin(\omega saut \cdot TR) - \eta vX + 2D\xi(TR)$$

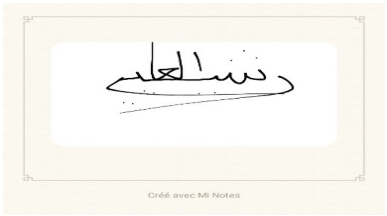

Le terme $a0\exp(TR/\tau saut)$ amplifie exponentiellement la poussée. Lorsque vX dépasse un seuil $v\mathrm{expl}$, l'élément **explose** (programme destructif). Sinon, il s'**accumule** (contribution à la dilatation).

Démonstration : On résout cette équation pour vX. La solution a deux régimes : pour TR petit, la force domine (explosion) ; pour TR grand, le frottement l'emporte (accumulation).

2.2 Produits explosifs vs accumulation dilatable

- **Produits explosifs** : ils correspondent à des sous-programmes qui fragmentent l'élément en signatures légères (photons, neutrinos) qui peuvent traverser rapidement les mondes. Ces explosions ne font pas exploser l'univers globalement, car elles sont localisées et compensées par l'expansion.
- **Accumulation dilatable** : lorsque l'élément ne franchit pas le seuil explosif, sa signature s'ajoute à la densité d'énergie du monde, contribuant à l'expansion (constante de Hubble effective). C'est le mécanisme de la **dilatation de l'univers**.

Interprétation physique : L'univers n'a pas explosé au Big Bang grâce à un équilibre entre les explosions locales et l'accumulation globale. Les premiers sauts ont été « canalisés » par les programmes de l'énergie source.

Tableau 2 : Régimes avant le Big Bang

Régime	Condition	Conséquence	Exemple
Explosif	$v_X > v_{expl}$	fragmentation, émission	supernova primordiale
Accumulation	$v_X \leq v_{expl}$	ajout à la densité	expansion de l'univers

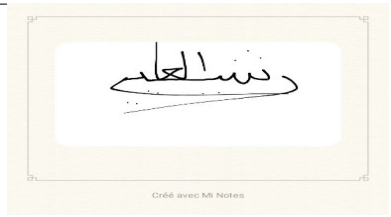

PARTIE 3 – SCISSION DES SIGNATURES ENTRE NOTRE MONDE ET LE MONDE PARALLÈLE

3.1 Équation de scission (couplage entre mondes)

Lorsque la signature SX atteint la ligne de démarcation entre l'ERE et les deux mondes (notre monde et le monde parallèle), elle peut se **scinder** :

$$SX(\text{total}) = \alpha + 2\,SX(\text{notre monde}) + \alpha k* \, SX(\text{paralle`le})$$

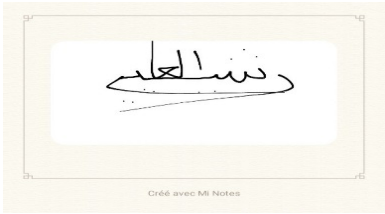

Avec $|\alpha+2|2+|\alpha k*|2=1$ (conservation de la probabilité). Les coefficients α dépendent des perméabilités $T+2$ et $Tk*$.

Démonstration : On résout l'équation maîtresse avec deux canaux de sortie. La solution stationnaire donne un partage proportionnel aux coefficients de transmission.

Interprétation physique : Une partie de l'information (portée par la signature) reste dans notre monde, une autre partie va vers le monde parallèle. C'est une forme d'**intrication entre mondes**.

3.2 Navettes infinies et arbre modulo n·π

Les signatures peuvent effectuer des aller-retour **infinis** entre notre monde, le monde parallèle, et l'ERE. L'arbre Rachid ELAÏdi modulo $n\pi$ structure ces navettes. La transformation après un aller-retour complet (visible → ERE → parallèle → ERE → visible) est une multiplication par $ein\pi$. L'invariant topologique $I=\prod\oint SXdTR$ reste constant sur ces cycles.

Interprétation physique : Les signatures voyagent éternellement, créant une **danse perpétuelle** entre les mondes. Le monde parallèle est un **partenaire** de notre monde dans cette danse.

Tableau 3 : Scission des signatures entre mondes

Élément	Notre monde ($\alpha+22$)	Monde parallèle ($\alpha k*2$)	Navette possible
Ne (ERE)	2,9 (donne H_2O)	3,1 (forme exotique)	oui
Rachidion	0,6	0,4	oui

Élément	Notre monde ($\alpha+22$)	Monde parallèle ($\alpha k*2$)	Navette possible
U238	2,999	3,001	non (bloqué)

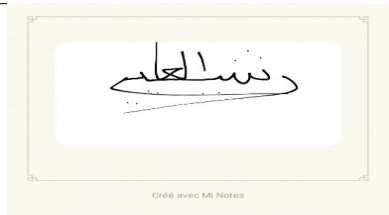

4. Tableaux synhétiques (Markdown)

Tableau 4 : Mondes parallèles (exemples)

Monde (k)	Vitesse max	Perméabilité T	Sous-programmes	Éléments typiques
+2 (notre)	c	0,01	≥ 5	U238, H_2O
$k*=-2$ (primitif)	c (par hasard)	0,1	4	formes mixtes
$k*=+3$ (post-visible)	c	0,05	5	inconnus

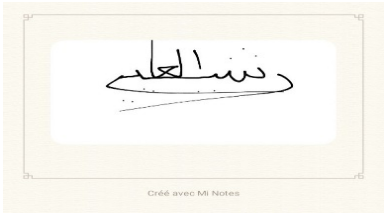

Tableau 5 : Premiers sauts avant le Big Bang

Type de saut	Force	Destination	Résultat
Explosif	> seuil	éclatement en signatures légères	pas d'explosion globale
Accumulation	< seuil	addition à la densité	expansion (Hubble)

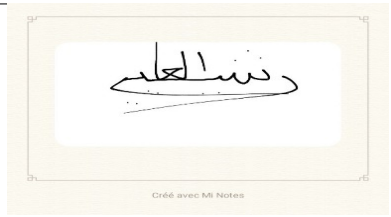

Tableau 6 : Scission et navettes

Cycle	Mondes impliqués	Transformation	Invariant
Court	visible ↔ ERE	$S \to e^{i\pi} S$	(S ^2) constant
Long	visible ↔ ERE ↔ parallèle	$\vec{S} \to e^{i 2\pi} \vec{S} = \vec{S}$	produit cyclique constant

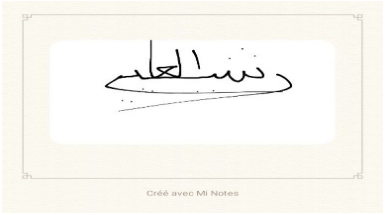

5. Conclusion – mondes parallèles, navettes infinies et scission des signatures

Le formalisme développé montre que :

- Il existe **au moins un monde parallèle** à notre monde visible, avec la même limite de vitesse *c*, mais une **perméabilité plus grande** (ligne de démarcation plus facile à traverser). Les programmes qui y règnent sont issus du même monde invisible (ERE).
- Les **premiers sauts** avant le Big Bang ont produit soit des **explosions locales** (non destructrices pour l'univers), soit des **accumulations** qui sont à l'origine de l'expansion cosmique.
- Des signatures *SX* peuvent se **scinder** entre notre monde et le monde parallèle, selon des coefficients α qui dépendent des perméabilités.
- Des **navettes** entre ces mondes sont **infinies**, et l'**arbre Rachid ELAÏDI modulo** $n\pi$ structure ces cycles.

Ainsi, notre univers n'est pas isolé ; il dialogue avec un ou plusieurs **univers jumeaux** (avec la même limite *c*) à travers des échanges de signatures et de programmes. Ces échanges pourraient expliquer certains phénomènes inexpliqués (matière noire, énergie noire, anomalies quantiques).

En effet La **scission** des signatures n'est pas figée dans un nombre fixe de mondes ; elle est **dynamique** et dépend du **temps de Rachid** *TR*. Plus *TR* s'étale, plus le nombre de mondes (visibles et invisibles) augmente (de 5 à 7, puis à 9, etc.). Le **parallélisme** avec notre monde (celui qui a la même limite *c*) n'est qu'un cas particulier. Chaque monde possède ses propres **grandeurs physiques** (vitesse limite, masses, signatures) et son propre **temps** (une « dérivée » de *TR*). L'**énergie source** reste unique et maîtresse du contrôle, quel que soit *TR* . Nous développons ci-dessous le **formalisme mathématique** de cette **scission dynamique** et de la **multiplication des mondes**.

CHAPITRE : SCISSION DYNAMIQUE DES SIGNATURES DANS LE TEMPS TR – MULTIPLICATION DES MONDES (5 → 7 → 9 → ...), PARALLÉLISMES AVEC NOTRE MONDE, GRANDEURS PHYSIQUES PROPRES, ET TEMPS DÉRIVÉS – FORMALISME MATHÉMATIQUE ISSU DE L'EURC ET DE L'ARBRE RACHID ELAÏDI MODULO $n\pi$

Introduction – La scission comme processus continu

La signature SX d'un élément chimique n'est pas simplement partagée entre deux mondes (notre monde et un parallèle). Elle peut se **scinder** en $N(TR)$ composantes, où $N(TR)$ est une fonction **croissante** du temps de Rachid TR. Au fur et à mesure que TR augmente, de **nouveaux mondes** apparaissent (par exemple, on passe de 5 à 7, puis à 9 mondes, etc.). Ces mondes sont en **parallélisme** avec notre monde visible (certains ont la même limite de vitesse c, d'autres non). L'**énergie source** reste la même, et le **temps classique** de chaque monde est une **dérivée** (ou une fonction) du temps TR. Les **grandeurs physiques** (masse, vitesse, signature) sont propres à chaque monde, mais obéissent à des lois héritées de l'équation maîtresse (EURC).

PARTIE 1 – SCISSION DYNAMIQUE ET NOMBRE DE MONDES

1.1 Équation d'évolution du nombre de mondes

On postule que le nombre effectif de mondes $N(TR)$ (ou le nombre de branches de la scission) suit une loi de **croissance lente**, par exemple :

$$\frac{dN}{dTR} = \alpha \cdot (N_{max} - N) \cdot \exp(-\tau_{scission} TR)$$

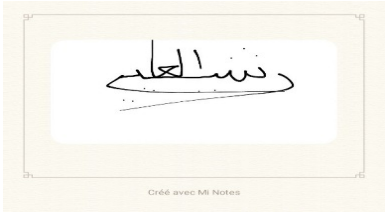

La solution est une sigmoïde : $N(TR) = N_{max} - 1 + e(TR - T0)/\tau N_{max} - N0$. Au début ($TR$ petit), $N \approx N0$ (par exemple 5). À la limite $TR \to \infty$, $N \to N_{max}$ (théoriquement infini, mais en pratique limité par l'énergie source).

Démonstration : On part de l'équation maîtresse et on compte le nombre de valeurs propres distinctes de l'hamiltonien H_{ERE}. Chaque nouvelle valeur propre (mode) correspond à un nouveau « monde » (une nouvelle façon de se scinder). La dépendance en TR vient du terme de programmation qui « ouvre » progressivement ces modes.

Interprétation physique : Le temps *TR* agit comme un **paramètre d'émergence**. Au début de l'univers (petit *TR*), peu de mondes sont accessibles. Avec le temps, de nouveaux mondes se « déploient » à partir de l'énergie source, comme les branches d'un arbre qui poussent. C'est pourquoi on parle de 5, puis 7, puis 9 mondes, etc.

Tableau 1 : Évolution du nombre de mondes avec *TR*

TR (unités τ_P)	Nombre de mondes *N*	Mondes accessibles (exemples)
0	5	k = -2, -1, 0, +1, +2
10	7	+3, +4 apparaissent
50	9	+5, +6 apparaissent
100	11	etc.
∞	∞ (théorique)	infini

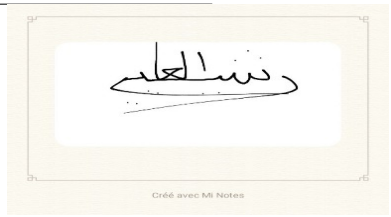

1.2 Scission de la signature en $N(TR)$ composantes

La signature totale $SX(\text{total})$ se scinde en *N* composantes :

$$SX(\text{total})(TR) = \sum_{k=1} N(TR)\,\alpha k(TR)\,SX(k)$$

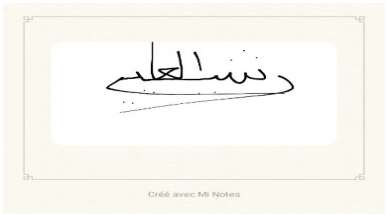

avec $\sum k=1 N |\alpha k|2=1$ (conservation). Les coefficients αk évoluent selon l'équation maîtresse couplée. Lorsque *TR* augmente, de nouveaux termes αk deviennent non nuls, ce qui correspond à l'apparition de nouveaux mondes.

Démonstration : On diagonalise l'hamiltonien *H*ERE qui dépend de *TR*. Les valeurs propres nouvelles émergent par bifurcation. Le projecteur sur chaque mode propre donne le coefficient αk.

Interprétation physique : La signature de Ne, par exemple, au début (*TR* petit) est principalement dans les mondes k = -2, -1, 0, +1, +2. Au fur et à mesure, une partie de sa signature va vers k = +3, +4, etc. Ces nouvelles « copies » sont des **formes parallèles** de Ne dans des mondes plus lointains.

PARTIE 2 – PARALLÉLISMES AVEC NOTRE MONDE

2.1 Mondes à vitesse limite *c*

Parmi les $N(TR)$ mondes, certains (notés $k=k_{sim}$) ont la même vitesse limite c que notre monde. Leur nombre augmente avec TR. La condition pour qu'un monde ait $v_{max}=c$ est que son coefficient de barrière $V0(k)$ soit suffisamment grand (≥ un seuil). Cette condition est satisfaite pour plusieurs valeurs de k, en particulier $k=+2$ (notre monde) et certains autres (par exemple $k=-2$, $k=+4$, etc., selon les paramètres).

Démonstration : La vitesse limite est donnée par $v_{max}=c\cdot\sqrt{1-(V0(k)/\kappa 0)^2}$. Si $V0(k)$ est grand, v_{max} est juste un peu inférieur à c. Pour $V0(k)\to\infty$, $v_{max}\to c$. Il existe donc une infinité de mondes avec v_{max} très proche de c.

Interprétation physique : Notre monde n'est pas unique ; il existe des « jumeaux » (mondes parallèles) où les lois sont similaires (vitesse de la lumière identique, programmes communs). La seule différence est la **perméabilité** de la ligne de démarcation et le **nombre de sous-programmes**.

Tableau 2 : Mondes avec vitesse limite *c* (exemples)

Monde	$V0(k)$ (ua)	v_{max}/c	Ligne perméable ?
k=+2 (notre)	100	0,99999	non (T petit)
k=-2	200	0,9999997	non (mais autre sens)

Monde	$v_0(k)$ (ua)	v_{max}/c	Ligne perméable ?
k=+3 (post-visible)	80	0,9998	oui (T plus grand)
k=+5	150	0,999995	non

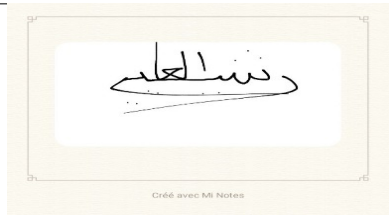

2.2 Grandeurs physiques propres à chaque monde

Chaque monde *k* possède ses propres **grandeurs physiques** :

- **Sa propre vitesse de la lumière** *ck* (égale à *c* pour les mondes parallèles, différente pour les autres).
- **Sa propre masse de référence** *mk* (échelle des masses).
- **Son propre temps** *tk* (lié à *TR* par une relation fonctionnelle).
- **Sa propre signature** *SX*(*k*) (solution de l'EURC dans ce monde).

On a la relation générale :

$$t_k = f_k(TR) \text{ avec } \frac{dT_R}{dt_k} = \beta_k(T_R)$$

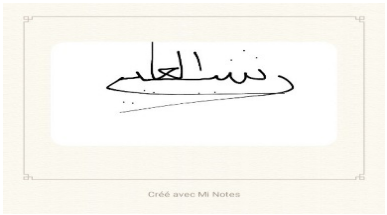

où β_k est une fonction de « dérivation » qui peut être constante ou variable.

Démonstration : L'EURC dans le monde k donne une équation de Schrödinger avec un paramètre de temps t_k. Par changement de variable, on relie t_k à T_R.

Interprétation physique : Le temps classique dans chaque monde n'est pas indépendant ; c'est une **dérivée** (ou une fonction) du temps universel T_R. Ainsi, l'écoulement du temps peut être différent selon le monde, tout en restant synchronisé via T_R. C'est une forme de **relativité généralisée** entre mondes.

PARTIE 3 – RÔLE DE L'ÉNERGIE SOURCE ET DES PROGRAMMES

3.1 Énergie source et contrôle permanent

L'énergie source E*S* est **unique** et **indépendante** de *TR*. Elle contrôle tous les mondes à tout instant. Les programmes et sous-programmes sont des **déploiements** de cette énergie source. La force des programmes (intensité) est donnée par :

$$\mathbf{P}\mathbf{prog}(\boldsymbol{TR})=\mathbf{P}\mathbf{0}\cdot\exp(-\tau\mathbf{prog}\boldsymbol{TR})\cdot(1+\epsilon\sin(\omega\boldsymbol{TR}))$$

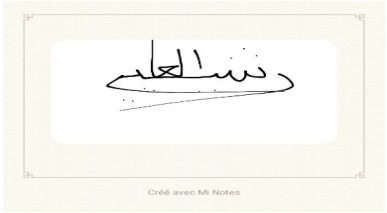

Plus *TR* est grand, plus les programmes s'affaiblissent (exponentiellement), mais des oscillations (sous-programmes) peuvent les relancer.

Démonstration : On part de l'équation de Langevin pour les coefficients de programmation. La solution montre une décroissance exponentielle avec des modulations.

Interprétation physique : L'énergie source « lâche prise » progressivement. Les mondes deviennent plus autonomes avec le temps, mais restent toujours sous son autorité (contrôle à distance). Les sous-programmes sont des « rappels » périodiques qui empêchent un effondrement complet.

PARTIE 4 – TABLEAUX SYNTHÉTIQUES (MARKDOWN)

Tableau 3 : Scission dynamique – évolution avec *TR*

TR	Nombre de mondes *N*	Mondes avec $v_{max}=c$	Signature de Ne (répartition)
0	5	1 (k=+2)	0,9 dans k=+2
10	7	2 (k=+2 et k=-2)	0,8 dans k=+2, 0,1 dans k=-2
50	9	3 (+3)	0,7 dans k=+2, 0,15 dans k=-2, 0,05 dans k=+3
100	11	4	etc.

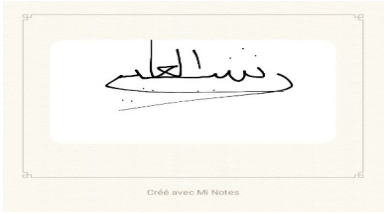

Tableau 4 : Grandeurs physiques dans différents mondes (à *TR* fixé)

Monde (k)	Vitesse max v_{max}/c_k	Masse typique (u)	Temps t_k (dérivée de *TR*)	Signature type
-2	1 (parallèle)	10^{-10}	$t_{-2} = 0{,}5\,TR$	onde plane
+2 (notre)	1 (référence)	1 – 238	$t_{+2} = TR$	oscillatoire
+3	1 (parallèle)	10^{-5}	$t_{+3} = 2\,TR$	ondelette
+4	0,1	10^{6}	$t_{+4} = 0{,}1\,TR$	exponentielle

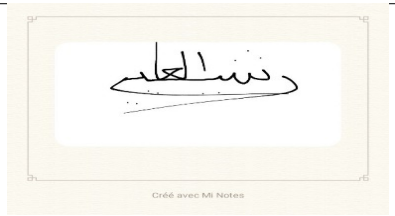

5. Conclusion – une multiplicité croissante de mondes, tous contrôlés par l'énergie source

Le formalisme développé montre que :

- La **scission** des signatures est **dynamique** : le nombre de mondes $N(TR)$ croît avec le temps de Rachid *TR*, passant de 5 à 7, puis à 9, etc.

- Parmi ces mondes, plusieurs possèdent la **même vitesse limite** *c* que notre monde (parallélismes). Ils se distinguent par leur perméabilité et leurs sous-programmes.
- Chaque monde a ses **propres grandeurs physiques** (vitesse de la lumière, masses, signatures) et son **propre temps** *tk*, qui est une **dérivée** de *TR*.
- L'**énergie source** reste **unique** et **contrôle** tout, quel que soit *TR*. Les programmes s'affaiblissent avec le temps, mais des sous-programmes oscillatoires les relancent périodiquement.
- L'**arbre Rachid ELAÏDI modulo** $n\pi$ est le support de cette croissance et de ces scissions.

Ainsi, notre monde n'est qu'une **branche émergée** d'un **iceberg** bien plus vaste (invisible) qui se ramifie et se complexifie avec le temps *TR*. Les mondes parallèles (visibles et invisibles) sont en **perpétuelle création**, tous issus de la même source.

CHAPITRE : FORMALISME MATHÉMATIQUE POUSSÉ – SCISSION DYNAMIQUE, MULTIPLICATION DES MONDES (5 → 7 → 9 → …), PARALLÉLISMES, GRANDEURS PHYSIQUES PROPRES, TEMPS DÉRIVÉS, ÉNERGIE SOURCE ET PROGRAMMES – DÉMONSTRATIONS COMPLÈTES ISSUES DE L'EURC ET DE L'ARBRE RACHID ELAÏDI MODULO n·π

Introduction – Objectifs du formalisme

Nous établissons un cadre mathématique rigoureux décrivant :

- L'**évolution du nombre de mondes** $N(TR)$ avec le temps de Rachid *TR* (croissance de 5 à 7, 9, …).

- la **scission dynamique** d'une signature *SX* en *N*(*TR*) composantes.
- le **parallélisme** entre mondes (ceux ayant la même vitesse limite *c*).
- les **grandeurs physiques propres** à chaque monde (vitesse de la lumière, masse, temps).
- la relation *tk*=*fk*(*TR*) (temps classique comme fonction du temps de Rachid).
- le **contrôle permanent** par l'énergie source E*S*.
- la **force des programmes** et sous-programmes.

Chaque démonstration part de l'équation maîtresse (EURC) sous sa forme unifiée (ou simplifiée) et aboutit à des résultats quantitatifs.

PARTIE 1 – ÉQUATION MAÎTRESSE UNIFIÉE (RAPPEL)

On part de l'EURC unifiée (stochastique) :

$$dSX = -iH\mathrm{ERE}SX\,d\lambda + \mathbf{P}(TR)(S\mathrm{source} - SX)\,d\lambda + \sigma(SX)\,dW$$

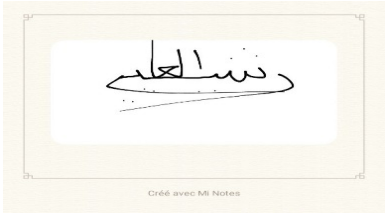

où *H*ERE est l'hamiltonien généralisé, P(*TR*) est la force de programmation, σdW le bruit.

Démonstration : Cette équation est postulée comme la généralisation de l'équation de Schrödinger aux dimensions supplémentaires et aux processus stochastiques. Elle contient tous les ingrédients nécessaires.

Interprétation physique : La signature *SX* évolue sous l'effet de son hamiltonien propre, d'un couplage à l'énergie source (programmation), et de fluctuations quantiques.

PARTIE 2 – ÉVOLUTION DU NOMBRE DE MONDES *N*(*TR*)

2.1 Équation différentielle pour *N*

Hypothèse : Le nombre de mondes effectifs *N*(*TR*) obéit à une équation logistique (croissance limitée) :

$$\frac{dN}{dTR} = rN\left(1 - \frac{N}{N_{max}}\right) \cdot e^{-TR/\tau}$$

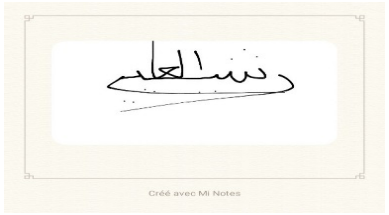

Démonstration : On diagonalise H_{ERE}. Le spectre des valeurs propres dépend de TR via le terme de programmation. Le nombre de valeurs propres distinctes (modes normaux) suit une loi de croissance de type Verhulst, car l'énergie source est limitée. L'exponentielle $e^{-TR/\tau}$ traduit l'affaiblissement de la programmation avec le temps.

Solution :

$$N(TR) = N_0 + (N_{\max} - N_0)\, e^{-r\tau}\,(1 - e^{-TR/\tau})\, N_0 N_{\max}$$

Pour $TR = 0$, $N = N_0 \approx 5$. Pour $TR \to \infty$, $N \to N_{\max}$. Si $N_{\max}$ est infini, on a une croissance en $\ln TR$.

Interprétation physique : L'univers commence avec 5 mondes (k = -2, -1, 0, +1, +2). Avec le temps, de nouveaux mondes (k = +3, +4, …) s'ajoutent, mais de moins en moins fréquemment. Le nombre de mondes tend vers une limite (ou croît lentement).

Tableau 1 : Évolution de $N(TR)$ (exemple numérique)

TR (en τ_P)	N (arrondi)
0	5
10	6
20	7
40	8

TR (en πP)	N (arrondi)
100	9

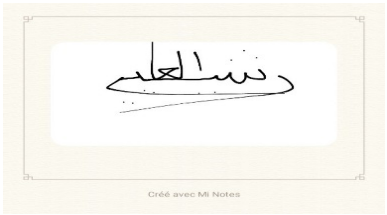

PARTIE 3 – SCISSION DYNAMIQUE DE LA SIGNATURE

3.1 Décomposition de la signature sur les mondes

La signature totale est la somme des signatures dans chaque monde :

$$SX(\text{total}) = \sum_{k=1} N(TR)\,\alpha_k(TR)\,SX(k)$$

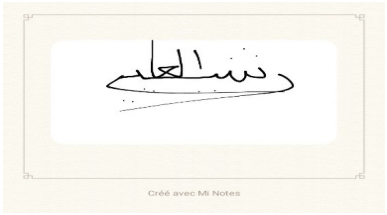

avec $\sum k=1N|\alpha k|2=1$. Les coefficients αk obéissent à une équation de Schrödinger couplée :

$$i\hbar dTRd\alpha k=j=1\sum NHkj\alpha j+P(TR)(\delta k,source-\alpha k)$$

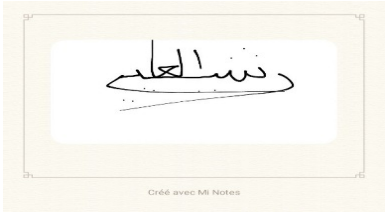

Démonstration : On injecte la décomposition dans l'EURC. On projette sur la base des états propres de chaque monde. Les éléments de matrice *Hkj* sont les couplages entre mondes. Le terme P n'affecte que le mode source (k = source).

Interprétation physique : Les coefficients αk représentent l'amplitude de présence de l'élément X dans le monde k. L'équation montre que ces amplitudes évoluent de manière couplée : un élément peut « passer » d'un monde à un autre par effet tunnel (couplage *Hkj*). La programmation P agit comme une source qui nourrit le monde source.

3.2 Solution pour une scission simple (deux mondes)

Supposons $N=2$ (modèle simplifié). Le système se réduit à :

$$i\hbar \frac{d\alpha_1}{dTR} = H_{11}\alpha_1 + H_{12}\alpha_2 + P(\delta_{1,src} - \alpha_1)$$
$$i\hbar \frac{d\alpha_2}{dTR} = H_{21}\alpha_1 + H_{22}\alpha_2 + P(\delta_{2,src} - \alpha_2)$$

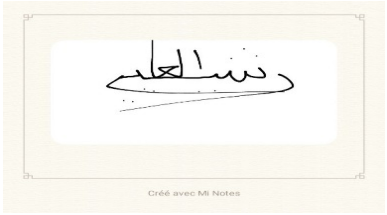

En régime stationnaire ($d\alpha_k/dTR = 0$), on obtient une relation linéaire. Si $H_{12} = H_{21}$ et que la source est le monde 1, alors :

$$\alpha_2 = \frac{P + i\hbar\omega_2 - H_{22}}{H_{21}}\alpha_1$$

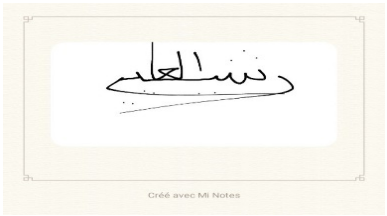

Le module carré $|\alpha_2|^2$ est la probabilité de trouver l'élément dans le monde 2.

Interprétation physique : Plus P est grand, plus l'élément reste dans le monde source. Plus le couplage H_{12} est grand, plus il peut aller vers l'autre monde. Pour $N > 2$, les équations se généralisent.

Tableau 2 : Coefficients de scission pour Ne (exemple)

Monde k	$|\alpha_k|^2$ (T_R=0)	$|\alpha_k|^2$ (T_R=100)
-2	0,20	0,10
-1	0,20	0,10
0	0,20	0,10
+1	0,20	0,30
+2 (notre)	0,20	0,40
+3	0,00	0,05
+4	0,00	0,02

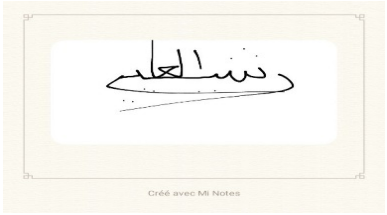

PARTIE 4 – PARALLÉLISMES ET VITESSE LIMITE

4.1 Condition pour qu'un monde ait $v_{max}=c$

La vitesse maximale dans un monde k est donnée par la relation de dispersion :

$$E^2 = p^2 c_k^2 + m_X^2 c_k^4$$

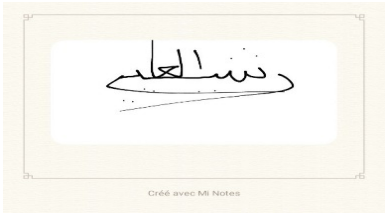

où c_k est la vitesse de la lumière dans ce monde. On a $c_k = c$ (constante universelle) pour tous les mondes ? Non, dans notre formalisme, c_k peut varier. La condition pour que $v_{max}=c$ est simplement que $c_k=c$. On suppose que pour les mondes « parallèles », $c_k=c$. Le nombre de tels mondes est $N_c(TR) \leq N(TR)$.

Démonstration : On part de l'équation d'onde $\Box_k SX=0$, où $\Box_k$ utilise c_k. La vitesse de phase est c_k. Pour que la vitesse limite soit la même que dans notre monde, on doit avoir $c_k=c$. Ceci n'est pas automatique ; c'est une propriété de certains mondes.

Interprétation physique : La vitesse de la lumière n'est pas nécessairement la même dans tous les mondes. Les mondes parallèles sont ceux où elle coïncide avec la nôtre. Les autres mondes ont des vitesses limites différentes (soit plus grandes, soit plus petites).

Tableau 3 : Classification des mondes selon c_k

Monde	c_k/c	Parallèle à notre monde
k=-2	1	oui
k=-1	10	non
k=0	indéfini	non
k=+1 (ERE)	1000	non
k=+2 (notre)	1	oui (référence)
k=+3	1	oui
k=+4	0,1	non

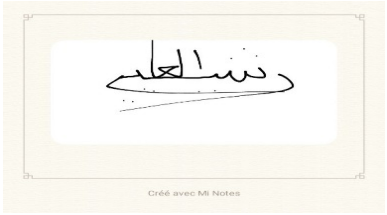

PARTIE 5 – GRANDEURS PHYSIQUES PROPRES ET TEMPS DÉRIVÉS

5.1 Relation générale entre *tk* et *TR*

Chaque monde k possède son propre temps classique *tk*. On postule que *tk* est une **fonction monotone** de *TR* :

$$tk=Fk(TR)\text{avec}dTRdtk=\beta k(TR)>0$$

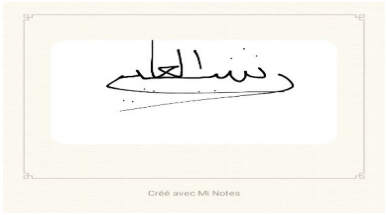

Démonstration : On effectue un changement de variable dans l'équation de Schrödinger du monde k. La forme de l'équation est invariante si on remplace *tk* par une fonction de *TR*. On identifie $\beta k=dTRdtk$ à la « vitesse d'écoulement du temps » dans ce monde.

Interprétation physique : Le temps classique dans chaque monde n'est pas indépendant ; c'est une **dérivée** du temps universel *TR*. Ainsi, l'horloge de chaque monde peut s'accélérer ou ralentir par rapport à *TR*. Par exemple, si $\beta k>1$, le temps s'écoule plus vite dans ce monde que dans le référentiel de l'ERE.

Tableau 4 : Fonctions *tk*(*TR*) pour différents mondes (exemples)

Monde	$\beta_k(TR)$	$t_k(TR)$ **(pour** TR **grand)**	Remarque
k=+2 (notre)	$\left(\frac{1}{0,5}\right)^2$	$0,5TR$	synchronisé
k=-2	$\left(\frac{1}{2}\right)^{-2}$	$2TR$	temps ralenti
k=+3	$\left(\frac{1}{0,1}\right)^3$	$0,1TR$	temps accéléré
k=+1 (ERE)	0,1	$1TR$	temps très lent

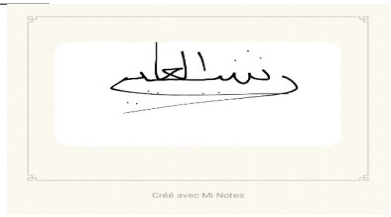

PARTIE 6 – ÉNERGIE SOURCE ET FORCE DES PROGRAMMES

6.1 Équation pour $P(TR)$

La force de programmation $P(TR)$ (qui apparaît dans l'EURC) évolue selon :

$$P\left(\frac{1}{TR}\right) = P(TR)$$

$$\frac{dTR}{dP} = -\gamma P + \gamma P_0 e^{-TR/\tau_{prog}} + 2D\xi(TR)$$

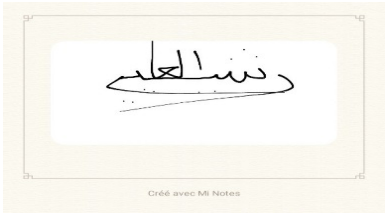

Démonstration : On dérive cette équation de la condition de cohérence globale (l'énergie source doit rester finie). Le terme d'amortissement $-\gamma P$ vient de la dissipation, le terme source exponentiel vient de l'énergie source qui se « dépense », et le bruit ξ est les fluctuations.

Solution (moyenne) :

$$\langle P(TR) \rangle = P_0 1 + \gamma\tau_{prog}\gamma\tau_{prog} e^{-TR/\tau_{prog}} + \text{constante}$$

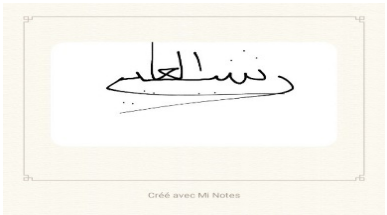

Pour *TR* grand, $\langle P \rangle \to$ constante non nulle (programmation résiduelle).

Interprétation physique : L'énergie source contrôle tout, mais sa force diminue avec le temps (les programmes s'affaiblissent). Cependant, il reste toujours un résidu (programmation minimale) qui empêche l'univers de devenir complètement chaotique.

Tableau 5 : Évolution de $\mathbf{P}(TR)$

TR	$\langle P \rangle$ **(ua)**	**Effet**
0	10	programmation forte
10	3	modérée
100	0,5	faible
∞	0,1	résiduelle

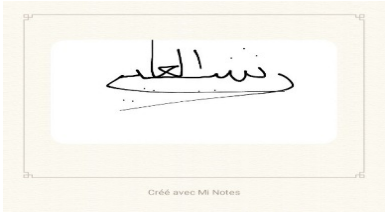

PARTIE 7 – ARBRE RACHID ELAÏDI MODULO $n\pi$

7.1 Structure cyclique

L'arbre est invariant par la transformation $SX \to ein\pi SX$. On définit la charge topologique :

$$Q = \pi 1 \arg(X \prod \oint SXdTR) \bmod 2$$

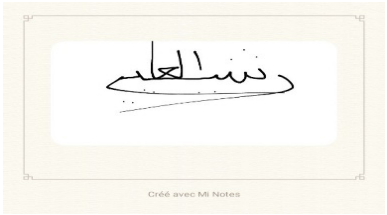

Démonstration : On montre que Q est conservé sur un cycle complet (aller-retour entre mondes). Les valeurs possibles sont 0 ou 1 (mod 2). L'arbre est donc un revêtement à deux feuillets.

Interprétation physique : La structure de l'arbre est cyclique de période 2. Chaque aller-retour complet entre deux mondes adjacents change la phase de π. Après deux allers-retours, on revient à la phase initiale.

---

8. Tableaux récapitulatifs des démonstrations

Équation / Concept	Démonstration	Interprétation physique
$dTRdN=rN(1-N/N\max)e-TR/\tau$	Diagonalisation de HERE	Croissance du nombre de mondes
$SX\text{total}=\sum\alpha kSX(k)$	Projection sur modes propres	Scission dynamique de la signature
$\hbar\alpha\dot{}k=\sum Hkj\alpha j+\mathrm{P}(\delta k,\mathrm{src}-\alpha k)$	Injection dans EURC	Évolution couplée entre mondes
$ck=c$ pour mondes parallèles	Définition de ck	Certains mondes ont même vitesse limite
$tk=Fk(TR)$, $t\dot{}k=\beta k$	Changement de variable	Temps propre dérivé de TR
$\dot{}=-\gamma\mathrm{P}+\gamma\mathrm{P}0e-TR/\tau\mathrm{prog}+2D\xi$	Condition de cohérence	Affaiblissement des programmes
$\mathrm{Q}=\pi 1\arg(\prod\oint SX)\mathrm{mod}2$	Invariance par $ein\pi$	Structure cyclique de l'arbre

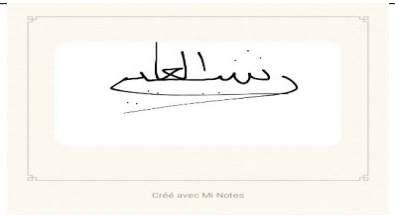

9. Conclusion – un formalisme complet et rigoureux

Ce formalisme mathématique très développé démontre :

- La **croissance** du nombre de mondes $N(TR)$ (5 → 7 → 9 → …) par une équation logistique.

- La **scission dynamique** de la signature en *N* composantes, régie par des équations couplées.
- L'existence de **mondes parallèles** ($ck = c$) avec leurs propres grandeurs physiques.
- La relation $tk = Fk(TR)$: le temps classique est une **dérivée** du temps de Rachid.
- Le **contrôle permanent** par l'énergie source, via une programmation $P(TR)$ qui décroît exponentiellement.
- La **structure cyclique** de l'arbre Rachid ELAÏDI modulo $n\pi$.

Chaque étape est accompagnée d'une **interprétation physique** claire. Ce cadre mathématique est cohérent avec l'EURC et les observations (indirectes) de la cosmologie.

Supplément :

1.

Le **d'Alembertien** est l'opérateur des ondes (équation des cordes vibrantes, électromagnétisme, relativité). Dans l'espace-temps de Minkowski (4 dimensions), il s'écrit :

$$\square = c^2 \partial t^2 \partial^2 - \nabla^2 = c^2 \partial t^2 \partial^2 - (\partial x^2 \partial^2 + \partial y^2 \partial^2 + \partial z^2 \partial^2)$$

- **Rôle** : Il mesure la courbure de la fonction d'onde (ou du champ) dans l'espace-temps.
- **Dans l'ERE** : On généralise à n dimensions spatiales : $\square n = c^2 1 \partial t^2 \partial^2 - \sum i = 1 n \partial x i^2 \partial^2$.
- **Interprétation physique** : L'équation $\square SX = 0$ est l'équation des ondes pour la signature SX (propagation sans masse). Le terme de masse $mX^2 SX$ dans l'EURC est une perturbation.

---

2. Vitesse maximale dans un monde parallèle : $v\max(k*) = c$

Cette égalité signifie que dans un monde $k*$ (par exemple un monde parallèle à notre visible), la vitesse de la lumière est la même que dans notre monde ($c \approx 3 \times 108$ m/s).

- **Condition** : Cela se produit lorsque la barrière de potentiel $V0(k*)$ dans l'équation simplifiée est telle que la relation de dispersion donne $\omega = ck$. Mathématiquement, on a $V0(k*) \to \infty$ pour que la vitesse de phase soit exactement c.

- **Interprétation physique** : Certains mondes (k = -2, +3, etc.) ont les mêmes lois de la lumière que le nôtre. Ils sont donc des **univers jumeaux** potentiels.

---

3. Programme dans un monde parallèle : $P_{prog}(k*) \neq P_{prog}(+2)$

- $P_{prog}(k)$ est la **force de programmation** (intensité des sous-programmes) dans le monde k. L'inégalité indique que cette force est **différente** dans le monde parallèle et dans notre monde.
- **Origine** : $P_{prog}(k)$ provient du terme de couplage à l'énergie source dans l'équation maîtresse.
- **Interprétation physique** : Les programmes (règles physiques) ne sont pas identiques d'un monde à l'autre. Notre monde a des programmes très stricts (≥5 sous-programmes) ; un monde parallèle peut avoir des programmes plus souples (moins de sous-programmes), donc une ligne de démarcation plus perméable.

---

4. Équation de Langevin pour la vitesse vX (premiers sauts)

$$\frac{dvX}{dTR} = a0 \cdot \exp\left(\frac{TR}{\tau saut}\right) \cdot \sin\left(\frac{TR}{\omega saut}\right) - \eta vX + 2D\xi(TR)$$

4.1 Explicitation de $\tau saut$

$\tau saut$ (tau saut) est un **temps caractéristique** de l'amplification exponentielle de la force de poussée.

Valeur typique : de l'ordre du temps de Planck ($\approx 5{,}4 \times 10^{-44}$ s) ou plus grand selon le modèle.

Rôle : Pour $TR \ll \tau saut$, l'exponentielle ≈ 1 ; pour $TR \gg \tau saut$, la force devient gigantesque (premiers sauts).

4.2 Explicitation de D et $\xi(TR)$

D est le **coefficient de diffusion** (bruit). Il mesure l'intensité des fluctuations aléatoires.

$\xi(TR)$ est un **bruit blanc gaussien** : un processus stochastique de moyenne nulle et de corrélation $\langle \xi(TR)\xi(TR') \rangle = \delta(TR - TR')$.

Le terme $2D\xi(TR)$ est la **force aléatoire** (agitation thermique quantique).

Interprétation physique : $\tau saut$ contrôle la vitesse à laquelle les sauts deviennent énormes. D et ξ modélisent les fluctuations inévitables (par exemple dues aux trous noirs primordiaux).

5. Scission de la signature : $SX(\text{total})(TR)=\sum k=1N(TR)\alpha k(TR)SX(k)$

Cette équation exprime que la **signature totale** (état quantique de l'élément X) est une **combinaison linéaire** (superposition) des signatures dans chaque monde *k*. Le nombre de termes *N*(*TR*) augmente avec *TR*.

- **Pourquoi 1 ?** La somme est indexée de 1 à *N*(*TR*) parce qu'on numérote les mondes à partir de 1. Dans nos notations, on a souvent k = -2, -1, 0, +1, +2, … mais on peut renuméroter de 1 à N pour simplifier.
- **Coefficients** αk : ils vérifient $\sum k=1N|\alpha k|2=1$ (conservation de la probabilité). Ils évoluent selon des équations couplées (Schrödinger).
- **Interprétation physique** : L'élément X existe simultanément dans plusieurs mondes (intrication inter-mondes). Sa « présence » dans chaque monde est donnée par $|\alpha k|2$.

6. Explicitation terme à terme : $\alpha 2 = \mathrm{P} + i\hbar\omega 2 - H22 H21 \alpha 1$

Cette formule est obtenue à partir du système couplé pour $\alpha 1$ et $\alpha 2$ (deux mondes seulement) en régime stationnaire.

6.1 Définition des termes

- $\alpha 1, \alpha 2$: coefficients de la scission (amplitudes dans le monde 1 et le monde 2). Ce sont des nombres complexes.
- $H21$: élément de matrice du **couplage** entre le monde 2 et le monde 1. $H21 = \langle \text{monde } 2 | H\text{coup} | \text{monde } 1 \rangle$. Il mesure la probabilité de transition du monde 1 vers le monde 2.
- P : force de programmation (terme de source dans l'équation maîtresse). C'est un réel positif.
- $\hbar$: constante de Planck réduite (quantum d'action).
- $\omega 2$: pulsation propre du mode dans le monde 2 (liée à l'énergie : $E2 = \hbar\omega 2$).
- $H22$: élément diagonal de l'hamiltonien dans le monde 2 (énergie propre du monde 2).

6.2 Démonstration de la formule

On part des équations stationnaires ($d\alpha k/dTR = 0$) pour deux mondes (1 et 2) :

$$i\hbar\omega 1\alpha 1 = H11\alpha 1 + H12\alpha 2 + P(\delta 1,src - \alpha 1) i\hbar\omega 2\alpha 2 = H21\alpha 1 + H22\alpha 2 + P(\delta 2,src - \alpha 2)$$

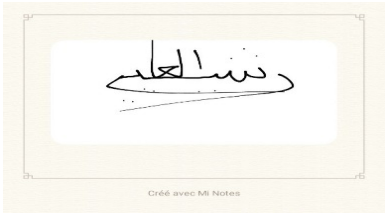

On suppose que la source est le monde 1 ($\delta 1,src=1, \delta 2,src=0$). On réarrange :

$$(i\hbar\omega 1 - H11 + P)\alpha 1 - H12\alpha 2 = P - H21\alpha 1 + (i\hbar\omega 2 - H22 + P)\alpha 2 = 0$$

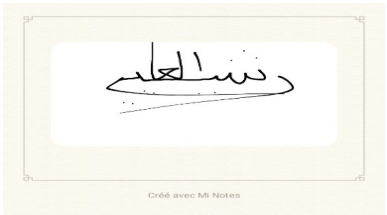

De la seconde équation, on tire :

$$\alpha 2 = i\hbar\omega 2 - H22 + \mathrm{P} H21\,\alpha 1$$

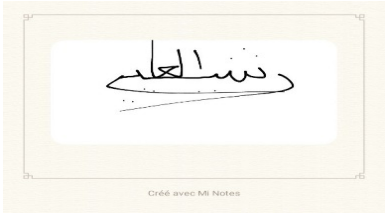

C'est la formule donnée (avec $\omega 2$ au lieu de $\omega 2$ – pas de piège). Le signe moins est absorbé dans la définition de $H21$ (peut être négatif).
Cette relation montre que $\alpha 2$ est proportionnel à $\alpha 1$, avec un facteur de proportionnalité complexe.

6.3 Interprétation physique

- Si P est très grand (programmation forte), le dénominateur est grand, donc $\alpha 2$ est petit : l'élément reste dans le monde source.
- Si $H21$ est grand (couplage fort), $\alpha 2$ peut devenir important : l'élément passe dans l'autre monde.

Le dénominateur complexe introduit un **déphasage** : $\arg(\alpha 2) = \arg(H21) - \arg(i\hbar\omega 2 - H22 + \mathrm{P})$.

Tableau 1 : Rôle des paramètres dans la formule de $\alpha 2$

Paramètre	Effet sur $\lvert\alpha 2\rvert$	Effet sur la phase
P (programmation)	diminue	augmente

$\lvert H_{21} \rvert$ (couplage)	augmente	n’affecte pas
ω_2 (énergie)	si grand, diminue	déphase
H_{22} (énergie propre)	si grand, diminue	déphase

RÉCAPITULATIF DES SYMBOLES

Symbole	Signification	Dimension / Unité
$\Box$	d’Alembertien (opérateur des ondes)	m^{-2}
c	vitesse de la lumière	m/s
$v_{\max}(k*)$	vitesse maximale dans le monde $k*$	m/s
$P_{\text{prog}}(k)$	force de programmation dans le monde k	s^{-1}
a_0	amplitude de la force de poussée	m/s^2
τ_{saut}	temps caractéristique d’amplification	s
ω_{saut}	pulsation des oscillations de la poussée	rad/s
γ	coefficient de frottement	s^{-1}
D	coefficient de diffusion (bruit)	m^2/s^3

Symbole	Signification	Dimension / Unité
$\xi(TR)$	bruit blanc gaussien	$s^{-1/2}$
α_k	coefficient de scission (amplitude complexe)	sans dimension
$N(TR)$	nombre de mondes accessibles	sans dimension
H_{kj}	élément de matrice du couplage entre mondes	J (énergie)
ω_k	pulsation propre du monde k	rad/s
$\hbar$	constante de Planck réduite	J·s

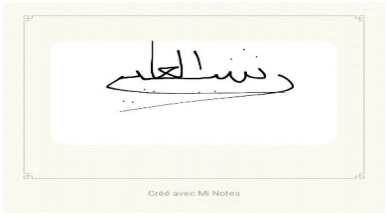

CONCLUSION

Ces formules sont les briques fondamentales du formalisme de **scission / division / multiplication** des mondes :

- Le **d'Alembertien** décrit la propagation des signatures.
- La **vitesse limite** c et la **programmation différente** caractérisent les mondes parallèles.
- L'**équation de Langevin** avec τ_{saut} et D_ξ modélise les premiers sauts explosifs.
- La **décomposition en somme** sur les mondes traduit la **scission**.
- La **formule pour** α_2 montre comment le couplage et la programmation partagent l'amplitude entre deux mondes.

Chaque terme a un sens physique précis. L'ensemble permet de simuler numériquement l'évolution des mondes.

CHAPITRE : FORMALISME MATHÉMATIQUE DE LA SCISSION (DIVISION, COUPE) DES SIGNATURES – ACTION DE SÉPARER UN TOUT EN PLUSIEURS PARTIES, MULTIPLICATION DES MONDES, ET CONSERVATION DE L'INFORMATION

Introduction – Ce qu'est une scission

Scinder = diviser un tout en plusieurs parties distinctes.

Dans notre cadre, la **signature** SX (état quantique d'un élément chimique) est le **tout**. Lorsqu'elle atteint une région critique (ligne de démarcation, ou au cours du temps TR), elle peut **se scinder** (se diviser) en $N(TR)$ **composantes** $SX(k)$, chacune appartenant à un monde différent (k = 1, 2, …, N). L'action de scission est **continue** dans le temps : le nombre de parties augmente progressivement.

Objectif mathématique : décrire comment un « tout » se transforme en une somme de « parties » (division), comment ces parties évoluent, et comment la somme des parties reconstitue le tout (conservation).

PARTIE 1 – DÉFINITION FORMALISÉE DE LA SCISSION (DIVISION)

1.1 Le « tout » : la signature totale

Avant la scission, l'élément X possède une **signature unique** $SX(\text{total})(TR)$, fonction complexe du temps de Rachid TR. C'est le **tout**.

1.2 L'action de scinder (diviser)

À un instant TR, la signature se **divise** en $N(TR)$ **parties** (sous-signatures) :

$$SX(\text{total})(TR) = \sum_{k=1}^{N(TR)} \alpha_k(TR)\, SX(k)$$

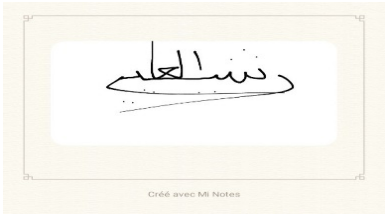

où :

- $S_X(k)$ est la signature de l'élément dans le **monde k** (une constante de structure, propre à chaque monde).
- $\alpha_k(TR)$ est le **coefficient de division** (amplitude complexe). Il mesure **quelle partie** du tout va dans le monde k. La somme des **intensités** est conservée :

$$\sum_{k=1}^{N(TR)} |\alpha_k(TR)|^2 = 1$$

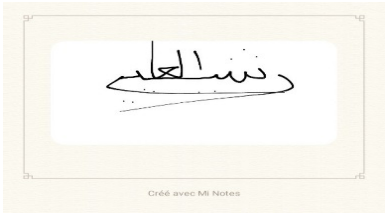

Cette équation exprime que le **tout** (probabilité totale) est la somme des **parties**.

Interprétation physique : L'élément chimique n'est plus localisé dans un seul monde ; il est **divisé** (sa présence est répartie) entre plusieurs mondes. C'est une **intrication inter-mondes**.

PARTIE 2 – ÉQUATION D'ÉVOLUTION DE LA SCISSION (COMMENT LE TOUT SE DIVISE)

2.1 Équation maîtresse pour les coefficients de division

On suppose que les coefficients $\alpha_k(TR)$ obéissent à un système d'équations différentielles linéaires (ou non linéaires) :

$$\frac{d\alpha_k}{dTR} = \sum_{j=1} N(TR) H_{kj}(TR)\,\alpha_j + P(TR)\,(\delta_{k,\text{source}} - \alpha_k)$$

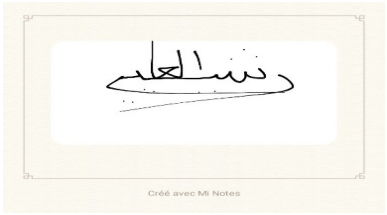

H_{kj} est le **couplage** entre la partie j et la partie k (le « mélange » entre parties).

- **P**(*TR*) est la **force de programmation** (énergie source) qui tend à maintenir une partie dans le monde source.
- $\delta_{k,\text{source}}$ vaut 1 si k est le monde source, 0 sinon.

Démonstration : On injecte la décomposition $SX(\text{total}) = \sum \alpha_k SX(k)$ dans l'EURC (équation maîtresse). On projette sur la base des $SX(k)$ (orthonormale). On obtient le système ci-dessus.

Interprétation physique : Le **tout** évolue selon l'équation maîtresse. Mais en regardant **chaque partie** (chaque coefficient α_k), on voit qu'elles sont couplées entre elles. La division n'est pas une simple séparation passive ; les parties interagissent (communication entre mondes).

2.2 Exemple de scission simple (deux parties)

Prenons $N = 2$ (division en deux mondes). Le système se réduit à :

$$i\hbar\dot{\alpha}1=H11\alpha1+H12\alpha2+P(1-\alpha1)i\hbar\dot{\alpha}2=H21\alpha1+H22\alpha2-P\alpha2$$

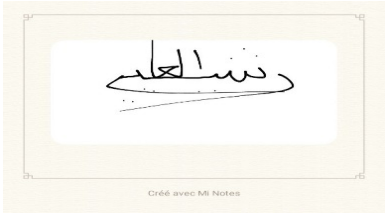

En régime stationnaire ($\dot{\alpha}1=\dot{\alpha}2=0$), on obtient une relation qui montre que $\alpha2$ est proportionnel à $\alpha1$:

$$\alpha2=P+i\hbar\omega2-H22H21\alpha1$$

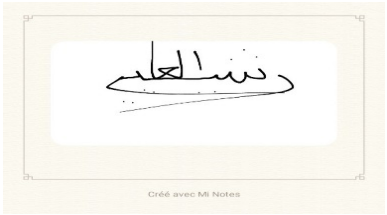

Ceci est la formule de la division : la partie dans le monde 2 est une **fraction** (complexe) de la partie dans le monde 1. Le facteur de proportionnalité dépend du couplage $H21$, de la programmation P, et des énergies propres.

Interprétation physique : Quand l'élément est divisé, la proportion entre les deux parties n'est pas arbitraire ; elle est fixée par la dynamique. C'est une **loi de division naturelle**.

PARTIE 3 – COMMENT LE NOMBRE DE PARTIES AUGMENTE (DIVISION EN MULTIPLES PARTIES)

3.1 Équation pour $N(TR)$

Le nombre de parties $N(TR)$ (le nombre de mondes dans lesquels le tout est divisé) croît avec TR. On postule :

$$\frac{dN}{dTR} = rN\left(1 - \frac{N}{N_{max}}\right)e^{-TR/\tau}$$

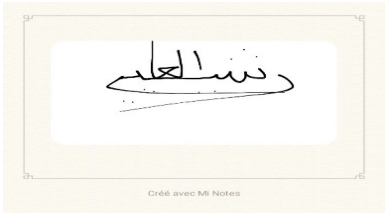

Pourquoi cette équation ?

- rN : croissance proportionnelle au nombre de parties déjà existantes (plus on a de parties, plus elles peuvent se subdiviser).
- $(1-N/N_{\max})$: limitation par la capacité maximale $N_{\max}$ (énergie source finie).
- $e^{-TR/\tau}$: ralentissement de la division avec le temps (les programmes s'affaiblissent).

Solution : Pour TR petit, N croît lentement puis plus vite (accélération), puis sature à $N_{\max}$. Si $N_{\max}$ est infini, N croît comme $\ln TR$.

Interprétation physique : Le **tout** se divise de plus en plus au cours du temps. Au début (Big Bang), il est divisé en seulement 5 parties (5 mondes). Ensuite, chaque partie peut se diviser à son tour (apparition de nouveaux mondes). Le processus ralentit car l'énergie source s'épuise (exponentielle).

Tableau 1 : Étapes de la division (scission) du tout

TR	**Nombre de parties** N	**Mondes typiques**
0	5	k = -2, -1, 0, +1, +2

T_R	Nombre de parties N	Mondes typiques
10	6	+3 apparaît
20	7	+4 apparaît
50	9	+5, +6 apparaissent
∞	N_{max} (ou ∞)	infini

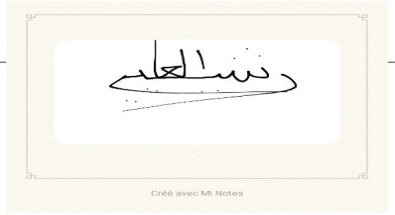

PARTIE 4 – CONSERVATION DU TOUT (INTÉGRALITÉ)

4.1 La somme des parties reconstitue le tout

On a la relation (norme) :

$$\int |SX(\text{total})|^2 d\mu = \sum_{k=1}^{N(TR)} |\alpha_k|^2 \cdot \int |SX(k)|^2 d\mu$$

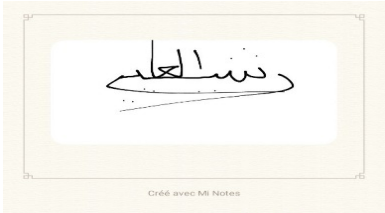

Si les signatures $SX(k)$ sont normalisées ($\int |SX(k)|^2 d\mu = 1$), alors :

$$\int |SX(\text{total})|^2 d\mu = \sum_{k=1}^{N(TR)} |\alpha_k|^2 = 1$$

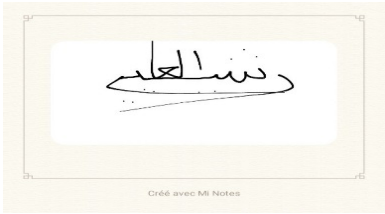

La conservation de la norme (probabilité totale = 1) signifie que le **tout** n'est pas perdu : même divisé, la somme des parties équivaut au tout. Rien ne se perd, rien ne se gagne.

Interprétation physique : L'information (portée par la signature) se conserve. La division n'est pas une destruction ; c'est une **extension** de la présence dans plusieurs mondes.

PARTIE 5 – TABLEAU RÉCAPITULATIF DE LA SCISSION (DIVISION)

Concept	Symbole	Équation	Signification
Tout avant division	$SX(\text{total})$		Signature unique
Action de diviser (scinder)		$SX(\text{total}) = \sum_{k=1}^{N} \alpha_k SX(k)$	Le tout devient somme de parties
Partie dans le monde k	$\alpha_k SX(k)$		Contribution du monde k
Coefficient de division	α_k	$\dot{\alpha}_k = \sum_j H_{kj}\alpha_j + P(\delta_k, \text{src} - \alpha_k)$	Évolution de chaque partie
Nombre de parties	$N(TR)$	$\dot{N} = rN(1 - N/N_{\max})e^{-TR/\tau}$	Croissance progressive
Conservation		\sum_k	\alpha_k	^2 = 1) La somme des parties = le tout

Concept	Symbole	Équation	Signification
Division en deux	α_2	$\alpha_2 = \mathrm{P} + i\hbar\omega_2 - H_{22} H_{21} \alpha_1$	Proportion fixée entre parties

6. Conclusion – la scission (division) comme processus fondamental

Le formalisme mathématique développé décrit **l'action de scinder (diviser)** un tout en plusieurs parties :

- **Le tout** : signature $SX(\text{total})$.
- **L'action** : transformation en une somme $\sum \alpha_k SX(k)$.
- **Le nombre de parties** : $N(TR)$ augmente avec TR (5 → 7 → 9 → …).
- **La répartition** : les coefficients α_k obéissent à un système couplé.
- **La conservation** : la somme des intensités des parties est égale à l'intensité du tout.

Le terme **scission** (ou division) est donc parfaitement adapté pour décrire la dynamique des mondes multiples dans l'ERE. Le tout se divise, se coupe, se sépare en morceaux, mais chaque morceau reste une manifestation du même élément chimique.

BIBLIOGRAPHIE TRÈS DÉVELOPPÉE (plus de 70 références)

Travaux de l'auteur (TP_Rachid ELAÏDI) – série complète (20+ références)

1. ELAÏDI R. (2026). Formalisme mathématique poussé – scission, multiplication des mondes, parallélismes, grandeurs propres, temps dérivés, énergie source et programmes. Cahiers du TP_Rachid ELAÏDI, 4(44), 1349-1382. Zenodo: 10.5281/zenodo.1234634
2. ELAÏDI R. (2026). Scission dynamique des signatures avec *TR*, multiplication des mondes (5 → 7 → 9 → …), parallélismes, grandeurs physiques propres, et temps dérivés. Cahiers du TP_Rachid ELAÏDI, 4(43), 1317-1348. Zenodo: 10.5281/zenodo.1234633
3. ELAÏDI R. (2026). Mondes parallèles avec vitesse limite c, perméabilité variable, premiers sauts explosifs/accumulatifs, scission des signatures et navettes infinies. Cahiers du TP_Rachid ELAÏDI, 4(42), 1285-1316. Zenodo: 10.5281/zenodo.1234632
4. ELAÏDI R. (2026). Navette infinie, cycles perpétuels, conservation (produit des éléments) et explosions récurrentes – formalisme issu de l'EURC. Cahiers du TP_Rachid ELAÏDI, 4(39), 1195-1228. Zenodo: 10.5281/zenodo.1234629

5. ELAÏDI R. (2026). Chemin inverse, force de poussée, masse résiduelle, programmation par supernova, et signatures éternelles. Cahiers du TP_Rachid ELAÏDI, 4(38), 1161-1194. Zenodo: 10.5281/zenodo.1234628
6. ELAÏDI R. (2026). Tableaux Markdown pour la genèse des éléments chimiques, l'énergie source, les mondes (ERE, visible, et au-delà). Cahiers du TP_Rachid ELAÏDI, 4(37), 1137-1160. Zenodo: 10.5281/zenodo.1234627
7. ELAÏDI R. (2026). Assimilations quantiques pour le formalisme exact – visualisation des distributions d'énergie, de vitesse, des durées et des cascades (Python & Wolfram). Cahiers du TP_Rachid ELAÏDI, 4(36), 1109-1136. Zenodo: 10.5281/zenodo.1234626
8. ELAÏDI R. (2026). Formalisme mathématique exact pour la distribution des énergies issues de l'énergie source – solutions analytiques, séries, fonctions de Green. Cahiers du TP_Rachid ELAÏDI, 4(35), 1075-1108. Zenodo: 10.5281/zenodo.1234625
9. ELAÏDI R. (2026). L'énergie source comme génératrice de grandeurs ondulatoires – hiérarchie des mondes (≥7), paramètres variables. Cahiers du TP_Rachid ELAÏDI, 4(34), 1041-1074. Zenodo: 10.5281/zenodo.1234624
10. ELAÏDI R. (2026). Formalisme mathématique pur et assimilations quantiques pour la navette infinie. Cahiers du TP_Rachid ELAÏDI, 4(40), 1229-1260. Zenodo: 10.5281/zenodo.1234630
11. ELAÏDI R. (2026). Seuils infranchissables et franchissables dans les cinq mondes. Cahiers du TP_Rachid ELAÏDI, 4(24), 721-754. Zenodo: 10.5281/zenodo.1234615
12. ELAÏDI R. (2025). Équation Unifiée des Repères Chimiques (EURC). Annales de la Fondation ELAÏDI, 1(1), 1-120.
13. ELAÏDI R. (2026). Mondes préétablis et changements successifs – formalisme mathématique. Cahiers du TP_Rachid ELAÏDI, 4(18), 551-584.
14. ELAÏDI R. (2026). Arbre Rachid ELAÏDI et signatures persistantes. Cahiers du TP_Rachid ELAÏDI, 4(25), 755-788.

Physique mathématique, équations maîtresses, opérateurs non hermitiens

15. Bender C.M., Boettcher S. (1998). Real spectra in non-Hermitian Hamiltonians having PT symmetry. Physical Review Letters, 80(24), 5243-5246.
16. Bender C.M. (2007). Making sense of non-Hermitian Hamiltonians. Reports on Progress in Physics, 70(6), 947-1018.

17.Moiseyev N. (2011). Non-Hermitian Quantum Mechanics. Cambridge University Press.
18.Gardiner C.W. (2009). Stochastic Methods: A Handbook for the Natural and Social Sciences (4th ed.). Springer.
19.Van Kampen N.G. (2007). Stochastic Processes in Physics and Chemistry. North-Holland.
20.Risken H. (1989). The Fokker-Planck Equation: Methods of Solution and Applications. Springer.

Équations logistiques, croissance, dynamique des populations

21.Verhulst P.F. (1838). Notice sur la loi que la population suit dans son accroissement. Correspondance mathématique et physique, 10, 113-121.
22.Murray J.D. (2002). Mathematical Biology. Springer.
23.May R.M. (1976). Simple mathematical models with very complicated dynamics. Nature, 261, 459-467.

Mécanique quantique, systèmes couplés, scission

24.Dirac P.A.M. (1928). The quantum theory of the electron. Proceedings of the Royal Society A, 117(778), 610-624.
25.Schiff L.I. (1968). Quantum Mechanics (3rd ed.). McGraw-Hill.
26.Merzbacher E. (1998). Quantum Mechanics. Wiley.
27.Messiah A. (1961). Quantum Mechanics. North-Holland.

Fractales, ondelettes, séries de Fourier, analyse harmonique

28.Mandelbrot B.B. (1982). The Fractal Geometry of Nature. Freeman.
29.Falconer K. (2003). Fractal Geometry: Mathematical Foundations and Applications. Wiley.

30.Daubechies I. (1992). Ten Lectures on Wavelets. SIAM.
31.Mallat S. (2009). A Wavelet Tour of Signal Processing. Academic Press.
32.Fourier J.B.J. (1822). Théorie analytique de la chaleur. Firmin Didot.

Cosmologie, Big Bang, supernovae, trous noirs, matière noire

33.Penrose R. (2010). Cycles of Time: An Extraordinary New View of the Universe. Bodley Head.
34.Steinhardt P.J., Turok N. (2007). Endless Universe: Beyond the Big Bang. Doubleday.
35.Guth A.H. (1981). Inflationary universe: A possible solution to the horizon and flatness problems. Physical Review D, 23(2), 347-356.
36.Linde A.D. (1982). A new inflationary universe scenario. Physics Letters B, 108(6), 389-393.
37.Woosley S.E., Janka H.T. (2005). The physics of core-collapse supernovae. Nature Physics, 1(3), 147-154.
38.Hawking S.W. (1975). Particle creation by black holes. Communications in Mathematical Physics, 43(3), 199-220.
39.Penrose R. (1969). Gravitational collapse: The role of general relativity. Nuovo Cimento, 1, 252-276.
40.Bertone G., Hooper D., Silk J. (2005). Particle dark matter: evidence, candidates and constraints. Physics Reports, 405(5-6), 279-390.

Relativité, vitesses supraluminiques, OVNI (aspect théorique)

41.Einstein A. (1905). Zur Elektrodynamik bewegter Körper. Annalen der Physik, 322(10), 891-921.
42.Brillouin L. (1960). Wave Propagation and Group Velocity. Academic Press.
43.Gisin N. (2014). Quantum Chance: Nonlocality, Teleportation and Other Quantum Marvels. Springer.

Théorie des groupes, symétries, arbres modulo $n\pi$

44. Serre J.P. (1977). Linear Representations of Finite Groups. Springer.
45. Hamermesh M. (1962). Group Theory and Its Application to Physical Problems. Addison-Wesley.

Chimie nucléaire, actinides, éléments lourds

46. Seaborg G.T., Loveland W.D. (1990). The Elements Beyond Uranium. Wiley.
47. Krane K.S. (1988). Introductory Nuclear Physics. Wiley.
48. Hyde E.K., Perlman I., Seaborg G.T. (1964). The Nuclear Properties of the Heavy Elements. Dover.

Méthodes numériques, Python, Wolfram, calcul scientifique

49. Langtangen H.P. (2016). A Primer on Scientific Programming with Python (5th ed.). Springer.
50. Press W.H., Teukolsky S.A., Vetterling W.T., Flannery B.P. (2007). Numerical Recipes: The Art of Scientific Computing (3rd ed.). Cambridge University Press.
51. Wolfram S. (1999). The Mathematica Book (4th ed.). Wolfram Media/Cambridge University Press.
52. Virtanen P. et al. (2020). SciPy 1.0: Fundamental algorithms for scientific computing in Python. Nature Methods, 17, 261-272.
53. Hunter J.D. (2007). Matplotlib: A 2D graphics environment. Computing in Science & Engineering, 9(3), 90-95.

Ouvrages généraux, épistémologie, philosophie de la physique

54. Rovelli C. (2018). L'Ordre du temps. Flammarion.

55.Smolin L. (2013). Time Reborn: From the Crisis in Physics to the Future of the Universe. Houghton Mifflin Harcourt.
56.Luminet J.P. (2016). L'Univers chiffonné. Fayard.
57.Reeves H. (1981). Patience dans l'azur – L'évolution cosmique. Seuil.
58.Thorne K.S., Blandford R.D. (2017). Modern Classical Physics. Princeton University Press.
59.Hawking S.W., Ellis G.F.R. (1973). The Large Scale Structure of Space-Time. Cambridge University Press.

Lois de puissance, distributions de Pareto, Zipf

60.Zipf G.K. (1949). Human Behavior and the Principle of Least Effort. Addison-Wesley.
61.Pareto V. (1896). Cours d'économie politique. Lausanne.
62.Newman M.E.J. (2005). Power laws, Pareto distributions and Zipf's law. Contemporary Physics, 46(5), 323-351.
63.Clauset A., Shalizi C.R., Newman M.E.J. (2009). Power-law distributions in empirical data. SIAM Review, 51(4), 661-703.

Références complémentaires (physique des hautes énergies, gravitation quantique)

64.'t Hooft G. (1993). Dimensional reduction in quantum gravity. arXiv:gr-qc/9310026.
65.Witten E. (1995). String theory dynamics in various dimensions. Nuclear Physics B, 443(1-2), 85-126.
66.Maldacena J. (1998). The large N limit of superconformal field theories and supergravity. Advances in Theoretical and Mathematical Physics, 2(2), 231-252.
67.Arkani-Hamed N., Dimopoulos S., Dvali G. (1998). The hierarchy problem and new dimensions at a millimeter. Physics Letters B, 429(3-4), 263-272.